دراسة كيفية تحديد الفصائص الضوئية للمركبات الكيميائية كوانتياً: بعض مكونات مواد التجميل كأمثلة

أ.د. عدنان كودلا (*)

ملخص البحث

تمّ في هذا العمل توضيح كيفية دراسة الخصائص الضوئية للمركبات الكيميائية كوانتياً عن طريق تطبيق ذلك على بعض مكونات التجميل. حيث تمّ اختيار مركبين من مكونات مواد التجميل أحدهما في أثناء تنفيذ الحسابات هو حمض الأكريليك (Acrylic acid) من أجل توضيح كيفية تنفيذ خطوات العمل والآخر في أثناء مناقشة الخصائص هو بروبيلين غليكول Propylene) من أجل توضيح كيفية مناقشة النتائج. أظهرت نتائج التطبيق:

- أن كلا المركبين يمتصان الأشعة فوق البنفسجية UVC ، حيث يبلغ طول موجة الامتصاص في حالة حمض الأكريليك (257.24 nm) وفي حالة بروبيلين غليكول (189.53 nm).
- يتأثر كلا المركبين بالضوء حيث يبلغ المردود الكوانتي بالنسبة لـ حمض الأكريليك (% 27) وبالنسبة لـ بروبيلين غليكول (% 49).
- يتمتع كلا المركبين بخاصية الفلورة، حيث يلاحظ تألق باللون البنفسجي في حالة حمض الأكريليك ويمتلك طيف الفلورة قمة وحيدة عند طول الموجة (404.54 nm)، كما يلاحظ تألق باللون البنفسجي في حالة بروبيلين غليكول وتظهر أيضاً قمة وحيدة في طيف الفلورة عند طول الموجة (437.37 nm).
- لا يتمتع أي من المركبين بخاصية الفسفرة لعدم إمكانية حدوث اقتران مدار -سبين المرتبط بحدوث تداخل بين السويات الاهتزازية في الحالتين الثلاثية والأحادية وهذا غير ممكن لكون

دراسة كيفية تحديد الخصائص الضوئية للمركبات الكيميانية كوانتياً: بعض مكونات مواد التجميل كأمثلة

طاقة العبور بين الأنظمة كبيرة جداً، حيث تبلغ (2.0203 eV) في حالة حمض الأكريليك بينما في حالة بروبيلين غليكول فتبلغ (2.5070 eV).

وللتأكد من مصداقية الخطوات المعتمدة ودقة الطريقة الكوانتية المستخدمة تمّ تحديد طيف الأشعة المرئية وفوق البنفسجية (UV-Vis Spectrum) وكذلك طيف الأشعة تحت الحمراء -Infra للمرئية وفوق البنفسجية حيث وجد توافق Red Spectrum لـ بروبيلين غليكول ومقارنتها مع الأطياف التجريبية المرجعية حيث وجد توافق جيد.

الكلمات المفتاحية: الكيمياء الكوانتية ، نظرية تابعية الكثافة ، خطوات العمل ، الخصائص الضوئية ، الفلورة ، الفسفرة ، مخطط جابلونسكى ، مواد التجميل ، حمض الأكريليك ، بروبيلين غليكول.

(*) أستاذ في قسم الكيمياء-كلية العلوم-جامعة حمص-حمص، سورية

A study on how to determine the optical properties of chemical compounds by quantum-chemistry: Some cosmetic ingredients as examples

Prof. Dr. Adnan Kodlaa (*)

Abstract

In this work, it was demonstrated how to study the optical properties of chemical compounds quantitatively by applying this to some cosmetic ingredients. Two components of cosmetics were chosen, one of which was acrylic acid during the calculations, in order to clarify how to implement the working steps, and the other, during the discussion of properties, was propylene glycol, in order to clarify how to discuss the results. Application results showed:

- Both compounds are affected by light, as the quantum yield for acrylic acid is (27%) and for propylene glycol (49%).
- Both compounds have the property of florescence, as violet photoluminescence is observed in the case of acrylic acid at the wavelength (404.54 nm), too violet photoluminescence is observed in the case of propylene glycol at the wavelength (437.37 nm).
- Neither compound has the property of phosphorescence because it is not possible for spin-orbit coupling to occur associated with interference between the vibrational levels in the triple and single states. This is not possible because the crossing energy between the systems is very large, reaching (1.5556 eV) in the case of acrylic acid while in the case of propylene glycol it reaches (2.4070 eV).

To ensure the reliability of the steps adopted and the accuracy of the quantum method used, the visible-ultraviolet spectrum (UV-Vis spectrum) as well as the infra-red spectrum (IR-spectrum) of propylene glycol were

دراسة كيفية تحديد الخصائص الضوئية للمركبات الكيميانية كوانتياً: بعض مكونات مواد التجميل كأمثلة

determined and compared with the returned experimental spectra, where good agreement was found.

Keywords: Quantum chemistry, density functional theory, working steps, optical properties fluorescence, phosphorescence, Jablonsky diagram, cosmetics, acrylic acid, propylene glycol.

(*) Department of chemistry-Faculty of sciences - Albaath university-Homs, Syria

I المقدمة (Introduction):

-1-I تمهيد (Preface)

لعبت الكيمياء الضوئية دوراً كبيراً ومهماً في الصناعات بمختلف أنواعها ومنها صناعة العقاقير والمستحضرات الصيدلانية وصناعة مستحضرات التجميل، إذ تُعد مستحضرات التجميل إحدى أهم تطبيقات الكيمياء التي تستخدم في الحياة اليومية، حيث تحتوي على مواد طبيعية ومواد كيميائية وتُعد المواد الكيميائية هي المواد الأكثر شيوعاً واستخداماً. فهناك الألاف من منتجات التجميل المختلفة في الأسواق وكلها تحتوي على مجموعات مختلفة من المكونات، يحتوي المكون الواحد مابقارب (15-10) مادة.

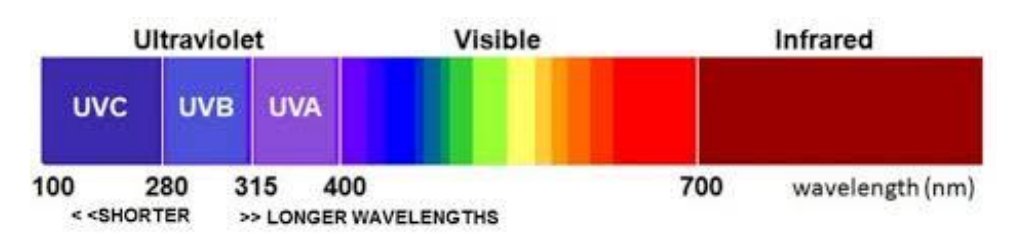
يُسمى التفاعل الناتج عن امتصاص الطاقة على شكل ضوء بالتفاعل الكيميائي الضوئي حيث أن نتيجة امتصاص الجزيئات للضوء تُخلق حالات مُثارة انتقالية تختلف خصائصها الفيزيائية والكيميائية بشكل كبير عن الجزيئات الأصلية. ولفهم آلية تأثير الضوء على خصائص المركبات الكيميائية كان لابد من تطوير طريقة تسمح بدراسة هذه التأثيرات على المستوى الجزيئي.

2−I مفاهيم أساسية (Basic concepts):

-1-2-I تعاریف (Definitions):

• الضوع: عبارة عن أمواج كهرومغناطيسية (كهرطيسية) لأنها نتشأ عن تداخل الحقلين الكهربائي والمغناطيسي المتعامدين معاً [1]. يتم استخدام تعبير "الضوء" للإشارة إلى الإشعاع الكهرومغناطيسي القادر على التسبب في الإثارة الإلكترونية أو التخميد الإلكتروني للجزيئات، وهو يتضمن جزء من الطيف الكهرومغناطيسي ضمن المجال 1000-1000)

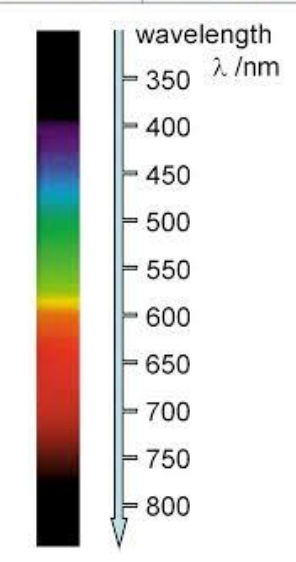
(nm الأشعة تحت الحمراء. كما هو موضح في الشكل (1). ويبين الجدول (1) أطوال أمواج الضوء المرئي.



الشكل (1): المجال المرئي وفوق البنفسجي في الطيف

الجدول (1): أطوال أمواج الضوء المرئي (Wavelengths of visible Light).

Color	Wavelength (nm)	Frequency (THz)	Photon energy (eV)
violet	380-450	670-790	2.75-3.26
blue	450-485	620-670	2.56-2.75
cyan	485-500	600-620	2.48-2.56
green	500-565	530-600	2.19-2.48
yellow	565-590	510-530	2.10-2.19
orange	590-625	480-510	1.98-2.10
red	625-750	400-480	1.65-1.98



• الكيمياء الضوئية: هي فرع من الكيمياء تهتم بالآثار الكيميائية للضوء (التفاعلات والتماكب والسلوك الفيزيائي التي تحدث تحت تأثير الضوء). عموماً يُستخدم هذا المصطلح لوصف التفاعلات الكيميائية الناتجة عن امتصاص الأشعة فوق البنفسجية التي تتراوح أطوال أمواجها (100-400 nm) والتي تقسم إلى ثلاثة مناطق (UVC [100-280] , UVB [280-315] و الضوء المرئي

سلسلة العلوم الأساسية أ.د. عدنان كودلا

الذي تتراوح أطوال أمواجه (mm 750-400) أو الأشعة تحت الحمراء التي تتراوح أطوال أمواجها (750-2500 nm).

التفاعل الكيميائي الضوئي: هو تفاعل ناتج عن امتصاص الطاقة على شكل ضوء؛ حيث نتيجة امتصاص الجزيئات للضوء تُخلق حالات مثارة انتقالية تختلف خصائصها الفيزيائية والكيميائية بشكل كبير عن الجزيئات الأصلية. إن استخدام الضوء لتحفيز التفاعلات الكيميائية هي واحدة من أكثر الطرائق فعالية وانتقائية؛ حيث عندما تمتص جزيئة ما فوتوناً ضوئياً، تتغير بنيتها الالكترونية، وتتفاعل بشكل مختلف مع الجزيئات الأخرى. إن الطاقة التي تمتصها الجزيئة نتيجة تعرضها للضوء تسبب تغيرات ضوئية في الجزيئة، أو في جزيئة مجاورة (على سبيل المثال، حساسية ضوئية). إن الفائض من الطاقة يُمكن أن يُعطى في صورة حرارة، (مثال ذلك الاسترخاءات الاهتزازية) أو ضوء أخفض طاقياً (مثال ذلك الفلورة أو الفسفرة) من أجل عودة الجزيئة إلى الحالة الأساسية. إذ ترتبط الطاقة الزائدة للحالات المثارة إلكترونياً في معظم الأحيان ببنية إلكترونية مختلفة تماماً عن الحالة الأساسية. قد يؤدي هذا إلى تفاعل مختلف نوعياً. كما يمكن اعتبار الجزيئات المثارة إلكترونياً أنواع كيميائية جديدة تماماً ولها خصائص تفاعلية خاصة بها وتختلف عن الحالة الأساسية [13].

• أنواع التفاعلات الكيميائية التي يسببها الضوء:

- التفكك الضوئي Photodissociation التفكك الضوئي
 - التحلق الضوئي Photocycloaddition
 - التماكب الضوئي Photoisomerization
 - البلمرة الضوئية Photopolymerization
 - إعادة الترتيب Photorearrangements
 - تفاعلات الاضافة Photo addition
 - تفاعلات التبادل Photosubstitution
 - الاكسدة الضوئية Photooxidation
 - الارجاع الضوئي Photoreduction

- التمثيل الضوئي في النبات.

2-2-I القوانين الأساسية في الكيمياء الضوئية

:(The basic Laws in Photochemistry)

هناك عدة مبادئ أساسية لفهم التحولات الكيمياضوئية والمتمثلة بالقوانين الآتية:

• قاتون ماكس بلانك (Max Plank Law) أيا: إن أية جملة (ذرة ، جزيئة، ...) لا يمكنها أن تمتص أو تصدر الطاقة (الضوء) بشكل عشوائي، وإنما فقط على شكل مقادير هي من مضاعفات طاقة أساسية (٤) تُسمى الكوانتوم أو الفوتون وتتناسب هذه الطاقة طرداً مع تواتر الاشعاع.

$$(n=1,2,...)$$
 $E_n = n \varepsilon = n h \nu = n h c \overline{\nu} = n \frac{h c}{\lambda}$

.($h = 6.626 \times 10^{-34} \text{ J.s}$) وقيمته : \mathbf{h}

. (c= $3 \times 10^{10} \ cm.s^{-1}$) (سرعة الضوء (سرعة النشار الإشعاع (سرعة الضوء) . c

تواتر الإشعاع ، $\overline{oldsymbol{
u}}$: العدد الموجي ، λ : طول موجة الإشعاع.

- قانون غروتهاس دراير (Grotthuss-Draper): حتى يحدث التفاعل الكيمياضوئي يجب امتصاص الضوء. فإذا كان طول موجة الضوء مختلف عن طول الموجة التي تمتصها الجزيئة لا يحصل تفاعل كيميائي ولا يكون له تأثير بيولوجي مهما طال زمن إشعاع الضوء مختلف طول الموجة.
- قانون ستارك-آينشتاين (Stark-Einstein) المتفاعلة يتم تتشيط جزيئة واحدة فقط من أجل التفاعل اللاحق (ويُسمى بقانون التكافؤ الضوئي؛ حيث تمّ اشتقاقه من قبل ألبيرت آينشتاين (Albert Einstein) في أثناء تطويره للنظرية الكوانتية للضوء). هذا القانون صحيح بالنسبة لشدة الضوء العادي، أما بالنسبة لأشعة الليزر ذات الطاقة العالية يمكن لفوتونين أن يحدثا تفاعل، مثلا يتم إثارة الجزيئة

سلسلة العلوم الأساسية أ.د. عدنان كودلأ

إلى حالة طاقية أعلى من التي يسببها امتصاص فوتون واحد. وفي مثل هذه الحالة يُمكن أن تكون طاقة الفوتون الصادر أكبر من طاقة الفوتون الممتص.

• قانون بيير – لامبيرت (Beer-Lambert) [7]: إذا سقطت حزمة من الأشعة فوق البنفسجية أو الضوء المرئي (UV-Vis) على محلول مادة كيميائية، فإن جزء منها [1] (يُمتص والجزء الآخر (It) ينفذ وتكون شدة الأشعة النافذة دوماً أقل من شدة الأشعة الواردة (Io) . حيث وجد العالم بيير أن الامتصاصية (A) تتناسب طرداً مع التركيز) (C)، كما وجد لامبيرت أن الامتصاصية تتناسب طرداً مع طول المسار الضوئي داخل المحلول (L) . وترتبط الأشعة النافذة بالواردة بالعلاقة الآتية:

$$A = \log(\frac{I_0}{I_t}) = \varepsilon C L$$

حيث ٤ : معامل الامتصاص الجزيئي واحدته (Lit . mol-1. cm-1)

• المردود الكوانتي (Quantum-Yield) أن يُستخدم هذا المصطلح للتعبير عن فعالية التفاعل الكيمياضوئي، أي مدى استغلاله للطاقة الممتصة. حيث يُعرّف المردود الكوانتي لعملية كيمياضوئية أو فيزياضوئية بنسبة عدد الجزيئات المتفاعلة أو المتشكلة في زمن معين إلى عدد الفوتونات الممتصة خلال نفس الزمن ويُرمز له بـ (Ф) ويُعطى بالعلاقة الآتية :

$$\Phi = \frac{N_A \times n}{I_A \times t}$$

حيث

الثانية) عدد المولات ، I_a : I_a

• مراحل التفاعل الكيميائي الضوئي:

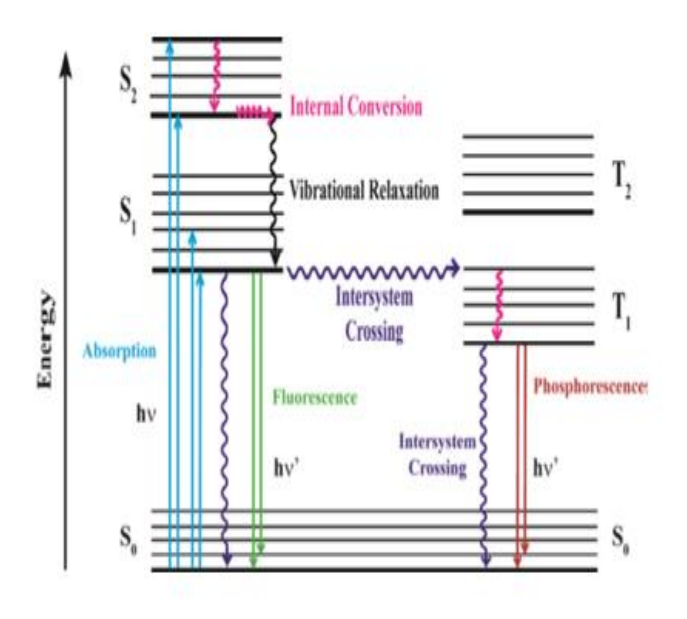
تحدث معظم التفاعلات الكيميائية الضوئية في ثلاث مراحل [8]:

- 1. امتصاص الضوء (الإشعاع الكهرومغناطيسي) لإنتاج الحالات الإلكترونية المثارة.
 - 2. التفاعلات الكيمياضوئية الأولية المتضمنة على الحالات الإلكترونية المثارة.

3. تحول نواتج التفاعل الكيمياضوئي لمنتجات مستقرة.

3-2-I مخطط جابلونسكي (Jablonski Diagram)

يُستخدم مخطط جابلونسكي لتصوّر العمليات الفيزياضوئية الممكنة لجزيئة مُثارة في المحلول: المتصاص الفوتون التحول الداخلي ، الفلورة ، العبور بين الأنظمة ، الفسفرة ، تخميد الفلورة والانتقالات بين الحالات الثلاثية. ويُشار إلى الحالات (المستويات) الإلكترونية الأحادية S_0 (الحالة الإلكترونية الأساسية) S_1 ، S_2 ، S_3 ، . . (الحالات المُثارة) وإلى الحالات الثلاثية المُثارة S_1 ، S_2 ، . . والسويات الاهتزازية ضمن كل حالة S_1 ، S_2 ،



الشكل (1): مخطط جابلونسكي

• الامتصاص أو الإثارة (Absorption or Excitation):

عندما تتعرض جزيئة ما لضوء مناسب تمتص الطاقة وتنتقل إلى الحالة المثارة نتيجة الانتقالات بين المستوي الإلكتروني الأساسي (S_0) والمستويات الإلكترونية المثارة في المستويات الاهتزازية ضمن هذه المستويات الإلكترونية (S_0 , S_1 , S_2 , S_3).

• التحول الداخلي (Internal Conversion):

هو انتقال غير إشعاعي بين مستويين إلكترونيين من نفس التعددية (أي لهما نفس مضروب السبين) في المحلول، ويتبع هذه العملية استرخاء نحو السوية الاهتزازية الأخفض من الحالة الإلكترونية الأخيرة. تتتقل الطاقة الاهتزازية الزائدة إلى المذيب خلال اصطدام الجزيئة المثارة مع جزيئات المذيب المحيطة بها. إن التحول الداخلي من S_1 إلى S_2 ممكن ولكن أقل كفاءة من التحول S_1 إلى S_2 إلى أن فجوة الطاقة بين S_1 و S_2 أكبر بكثير. لذلك فالتحول الداخلي من S_1 إلى S_2 يُمكن أن يتنافس مع الفلّورة والعبور بين الأنظمة.

• الفلورة (Fluorescence):

هي انبعاث الفوتونات المرافقة للاسترخاء $(S_0 \to S_0)$ ، أي المرافقة للاسترخاء من المستوي الإلكتروني المثار الأول إلى المستوي الإلكتروني الأساسي أو إلى السويات الاهتزازية ضمن هذا المستوي. إن الانتقال 0-0 هو نفسه بالنسبة للامتصاص والفلورة. لكن يقع طيف الفلورة عند أطوال موجية أعلى (طاقة أخفض) من طيف الامتصاص بسبب فقدان الطاقة في الحالة المثارة العائد للاسترخاءات الاهتزازية. وينبغي التأكيد على أنه وبصرف النظر عن بعض الاستثناءات القليلة، يحدث انبعاث الفلورة من S_1 ، وبالتالي خصائصه (باستثناء الاستقطاب) لا تعتمد على طول موجة الإثارة. وفقا لقاعدة ستوكس، يجب أن يكون طول موجة اصدار الفلورة دائما أكبر من طول موجة الامتصاص ومع ذلك في معظم الحالات يحصل تداخل جزئي بين طيف الامتصاص والفلورة.

• العبور بين الأنظمة InterSystem Crossing) ISC!

هو انتقال غير اشعاعي بين سويتين اهتزازيتين تنتمي لحالات إلكترونية مختلفة التعددية. على سبيل المثال، جزيئة مثارة في السوية الاهتزازية 0 في الحالة المثارة S_1 يُمكن أن تنتقل إلى

دراسة كيفية تحديد الخصائص الضوئية للمركبات الكيميانية كوانتياً: بعض مكونات مواد التجميل كأمثلة

سوية اهتزازية في الحالة المثارة T الثلاثية وهنا يغير السبين اتجاهه ويكون للإلكترونين نفس السبين، ويكون العبور بين الأنظمة أسرع من عمليات المنافسة الأخرى (التحول الداخلي والفلّورة $S_0 \rightarrow S_0$). إن العبور بين الأنظمة لتعدديات مختلفة من حيث المبدأ ممنوع، ولكن الاقتران مدار – سبين (مثلا: العزم المغناطيسي المداري والعزم المغناطيسي السبيني) يُمكن أن يكون كبير كفاية لجعل ذلك مُمكن. إن احتمال العبور بين الأنظمة يعتمد على الحالات الأحادية والثلاثية الممكنة. وإذا كان الانتقال $S_0 \rightarrow S_0$) من النمط $S_0 \rightarrow S_0$ فإن العبور يكون فعال غالباً. كما تجدر الإشارة إلى أن وجود الذرات الثقيلة (مثل: البروم، والرصاص) يزيد الاقتران سبين – مدار وهذا يزيد احتمال العبور بين الأنظمة.

• الفسفرة (Phosphorescence):

هي انبعاث الفوتونات المرافقة للاسترخاء $(T_1 \to S_0)$ ، أي الانتقال من أدنى حالة ثلاثية متوازنة حرارياً الى الحالة الأساسية S_0 . تحدث الفسفرة عند أطوال موجية أطول من الفلورة. لأن الحالة T_1 أخفض طاقياً من الحالة S_1 .

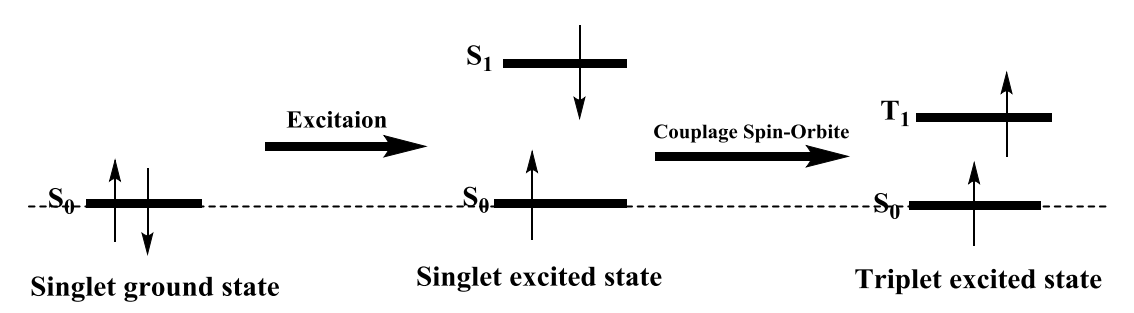
إن الانتقال ($S_0 \to T_1$) ممنوع في المحلول عند درجة حرارة الغرفة (ولكن يمكن ملاحظته بسبب النزاوج مدار – سبين)، وثابت معدل الإشعاع منخفض جداً. وبالتالي هذه العملية بطيئة وبسبب التصادمات مع جزيئات المذيب تكون عملية العبور بين الأنظمة والاسترخاء الاهتزازي أفضل من الفسفرة. وعلى العكس من ذلك يُمكن ملاحظة عملية الفسفرة في درجات حرارة منخفضة و/أو في الاوساط الصلبة ومراقبتها على مقياس زمني حيث تصل إلى ثوان، دقائق أو أكثر، لأن عمر الحالة الثلاثية تكون طويلة بما فيه الكفاية في هذه الظروف. ويقع طيف الفسفرة عند أطوال موجية أعلى من طيف الفلورة لأن طاقة الحالة الثلاثية أخفض من طاقة الحالة المثارة الأحادية.

• تخميد الفلُورة (Fluorescent Damping)

يُمكن تخفيض كثافة الفلورة عن طريق مجموعة متنوعة واسعة من العمليات. وتُسمى هذه الانخفاضات تخميد. يحدث التخميد الفعال عندما تتصادم الجزيئات المثارة مع جزيئات أخرى في المحلول التي تدعى مخمد. حيث يتم إرجاع الجزيئة المثارة الى الحالة الأساسية ولا تتغير

الجزيئات كيميائياً في هذه العملية (يوصف الانخفاض في الكثافة بمعادلة ستيرن – فولمر المعروفة). هناك مجموعة واسعة من الجزيئات التي يُمكن أن تكون بمثابة مخمد مثال ذلك: الأكسجين ، الهالوجينات ، الأمينات ، الجزيئات التي تعاني من نقص الإلكترون مثل مادة الأكريلاميد. إن آلية التخميد تختلف باختلاف الزوج (مخمد – جزيئة مثارة). ويحدث التخميد بوساطة الهالوجينات والذرات الثقيلة بسبب الاقتران مدار – سبين والعبور إلى الحالة الثلاثية.

توضيح الاقتران مدار – سبين والعبور إلى الحالة الثلاثية:



يُعد العبور بين الأنظمة (ISC) عملية بدون إشعاعات تنطوي على انتقال بين حالتين الكترونيتين مختلفتين بمضروب السبين.

يُمكن للإلكترونات المُثارة أن تخضع لمرحلة العبور بين الأنظمة لخلق حالة متدنية ذات مضروب سبين مختلف. عندما يتم تحفيز إلكترون في جزيئة بحالته الأساسية (عن طريق امتصاص الإشعاع) إلى مستوى طاقة أعلى، ستشكل إما حالة مُثارة أحادية أو حالة مُثارة ثلاثية. إن الحالة الأحادية هي حالة إلكترونية جزيئية بحيث تكون سبينات جميع الإلكترونات متزاوجة. وهذا يعني أن سبين الإلكترون المُثار لا يزال متزاوجاً بإلكترون الحالة الأساسية (يجب على زوج من الإلكترونات في نفس مستوى الطاقة أن يكون لهما سبينات متعاكسة، وفقًا لمبدأ استبعاد باولي). في الحالة الثلاثية، لم يعد الإلكترون المُثار متزاوجاً مع إلكترون الحالة الأساسية؛ أي أنها متوازية (لهما نفس الاتجاه). بما أن الإثارة إلى الحالة الثلاثية تنطوي على انتقال إضافي "ممنوع"، فمن غير المحتمل أن تتشكل حالة ثلاثية عندما تمتص الجزيئة الإشعاع. عندما يتم العبور غير المشع من الحالة الأحادية إلى الحالة الثلاثية، أو من الحالة

دراسة كيفية تحديد الخصائص الضوئية للمركبات الكيميائية كوانتياً: بعض مكونات مواد التجميل كأمثلة

الثلاثية إلى الحالة الأساسية، تُعرف هذه العملية باسم العبور بين الأنظمة. في جوهرها، يتم عكس اتجاه سبين الإلكترون المُثار. إن احتمال حدوث هذه العملية يكون أكثر ملاءمة عندما تتداخل السويات الاهتزازية بين الحالتين المُثارتين، حيث يجب أن تكون كمية الطاقة المكتسبة أو الضائعة قليلة أو معدومة. بما أن التأثيرات السبينية – المدارية في مثل هذه الجزيئات تكون كبيرة، وبالتالي يكون التغيير في السبين أكثر تفضيلاً، يكون العبور بين الأنظمة الأكثر شيوعاً في جزيئات الذرات الثقيلة (على سبيل المثال تلك التي تحتوي على اليود أو البروم). تُسمى هذه العملية "اقتران مدار –سبين". ببساطة يحصل تزاوج السبين الإلكتروني مع العزم الزاوي المداري لمدارات غير دائرية. بالإضافة إلى ذلك، فإن وجود المواد البارامغناطيسية في المحلول يعزز العبور بين الأنظمة . ويعرف الانتقال الإشعاعي نتيجة عودة الإلكترون من الحالة الثلاثية المُثارة إلى الحالة الأحادية باسم الفسفرة. ونظراً لحدوث انتقال في مضروب السبين، فإن الفسفرة هو مظهر من مظاهر العبور بين الأنظمة. النطاق الزمني للعبور بين الأنظمة من

 10^{-8} إلى 10^{-3} ثوانِ، أحد أبطأ أشكال الاسترخاء.

• نورد في الجدول الآتي الزمن التقريبي للتحولات في مخطط جابلونسكي:

الزمن بالثواني	الانتقال	اسم العملية
فور <i>ي</i>) 10 ⁻¹⁵	$S_0 \longrightarrow S_n$	امتصاص الضوء (الإثارة)
10 ⁻¹⁴ to 10 ⁻¹¹	$S_n \longrightarrow S_1$	التحوّل الداخلي
10 ⁻¹² to 10 ⁻¹⁰	$(S_n)^* \longrightarrow S_n$	الاسترخاء الاهتزازي
10 ⁻¹¹ to 10 ⁻⁶	$S_1 \longrightarrow T_1$	العبور بين الأنظمة
10 ⁻⁹ to 10 ⁻⁶	$S_1 \longrightarrow S_0$	الفلّورة
10 ⁻³ to 100	$T_1 \longrightarrow S_0$	الفسفرة
10 ⁻⁷ to 10 ⁻⁵	$S_1 \longrightarrow S_0$	التلاشي غير الإشعاعي (**)
10 -3 to 10 0	$T_1 \longrightarrow S_0$	اللكرسي غير الإسعاعي (١٠)

سلسلة العلوم الأساسية أد. عدنان كودلأ

توضيح (**): يُمكن أن يحدث التلاشي غير الإشعاعي عن طريق نقل الطاقة الداخلية للجزيئة المُثارة إلى جزيئة أخرى مختلفة. تُسمى هذه العملية بالتخامد فيما يخص الجزيئات المُثارة، أو الحساسية فيما يخص الحالات المُثارة التي تم إنشاؤها حديثًا. يحدث التحسس الكيميائي الضوئي عادة بوساطة تفاعل $T1 + S0 \rightarrow S0 + T1$ ، حيث التحوّل الأحمر هو للمحسس الضوئي والأسود للمخمد الضوئي. قد تخضع الحالة المثارة الثلاثية الجديدة بعد ذلك لردود الفعل المميزة الخاصة بها.

يُمكن توضيح عملية امتصاص الإشعاع الكهرطيسي من قبل الجزيئة وإعادة إصداره بعمليتي الفلورة والفسفرة كما يأتي:

- نتيجة امتصاص الجزيئة للضوء تنتقل من الحالة الأساسية (Ground state) إلى إحدى الحالات المثارة الأحادية (Singlet excited states)، مثلاً الحالة المثارة الأحادية الأولى:

$${}^{1}T_{1u} \leftarrow {}^{1}A_{g} \quad (S_{0} \rightarrow S_{1})$$

- تتنقل الجزيئة المثارة إلى حالتها الأساسية مصدرة ضوء مرئي للعين ويُسمى بالفلّورة:

$$^{1}T_{2g} \rightarrow ^{1}A_{g}$$
 $(\mathbf{S_{1}} \rightarrow \mathbf{S_{0}})$

- أما الفسفرة فهي عملية إصدار الضوء المرئي ببطء شديد:

$$^3T_{2g} \rightarrow {}^1A_g$$
 $(\mathbf{T_1} \rightarrow \mathbf{S_0})$

II- الطريقة الكوانتية وخطوات العمل (Quantum method and working steps):

II-1- الطريقة الكوانتية (Quantum method):

تمّ في هذا العمل استخدام طريقة DFT/B3LYP ؛ حيث تمكّن كل من بيكي تمكّن كل من بيكي و يانغ و بار (C. Lee , W. Yang and R.G. Parr) و لي و يانغ و بار (A.D. <u>B</u>ecke)

دراسة كيفية تحديد الخصائص الضوئية للمركبات الكيميائية كوانتياً: بعض مكونات مواد التجميل كأمثلة

على نظرية تابعية الكثافة المستقلة DFT الزمن تعديلات إدخال عن المتعلقة TD-DFT بالزمن و كذلك (Density Functional (Time-Dependent Density Functional Theory) التي سمحت بحل معادلات شرودينغر وتطبيقها على الذرات والجزيئات والمركبات المختلفة من خلال استخدام المجموعة القاعدية المناسبة، والمجموعة القاعدية هي مجموعة من التوابع الرياضية التي تُستخدم للمساعدة في حل معادلات شرودينغر من أجل الجمل التي تمتلك أكثر من إلكترون. إن المجموعة القاعدية المستخدمة هنا هي (6-311+g(d,p)) حيث تُمثل (6-311G) االمجموعة التكافؤية التي تعتمد على فصل المدارت التكافؤية عن المدارات الداخلية (split-valence)، وتُشير (d,p) إلى أنه تمّ الأخذ بعين الاعتبار استقطاب المدارات واشارة الزائد (+) تعنى توسيع المجموعة القاعدية لتشمل توابع الانتشار. وهنا لابد من التأكيد على أن دراسات عديدة قد أثبتت أن تطبيق طريقة DFT/B3LYP المستقلة عن الزمن وكذلك طريقة TD-DFT/B3LYP المتعلقة بالزمن [13-20] باستخدام مجموعات قاعدية مختلفة سواء في الطور الغازي (جزيئات معزولة) أو الطور المكثف (بوجود مذيب) مع نموذج **SMD** الضمني المذيبات (the Salvation Model based on Density)، على جملة ما (ذرة ، جزيئة ، أيون،... الخ) قد أعطى نتائج عالية الدقة، كما أنها تسمح بحساب الخصائص البنيوية والإلكترونية والترموديناميكية والطيفية والضوئية والبيولوجية والدوائية...الخ للجمل المدروسة، ويؤخذ عليها أنها مكلفة (لكون زمن

يتم هنا حل معادلات شرودينغر باستخدام طريق قصيات GaussianO3 وأجل الذرات الدرات الدرات الدرات الدرات الدرات المدروجين والكربون والنتروجين والأكسجين و ...الخ) وكذلك من أجل الجزيئات المدروسة المكونة من بعض أو كل الذرات السابقة. من أجل ذلك لابد من إدخال المعاملات الخاصة بالذرة والمركب المدروس عبر واجهات بيانية صنعمت لعمل برامج غاوصيان (, Gaussian 09W) وهي أو المركب المدروس عبر واجهات بيانية صنعمت لعمل برامج غاوصيان (, Gaussian 09W) وهي عبارة عن برامج مستقلة. الأمسر الذي يسهل العمل كثيراً ويجعله أكثر دقة ويقلل من الأخطاء المحتملة في أثناء إدخال المعاملات وخاصة تلك المتعلقة بمعاملات الهندسة الفراغية (إحداثيات

الحسابات طويل جداً) بالمقارنة مع غيرها من الطرائق وخاصة الطرائق نصف الاختبارية.

تموضع الذرات داخل المركب بتابعية المسافات والزوايا بالنسبة لجملة إحداثيات فراغية). فمثلاً في حالة الذرات يكفي أن نرسم الكرة التي تمثل الذرة في شاشة الواجهة وفي حالة المركبات أن نرسم المركب باستخدام هذه الواجهة أو أحد برامج الرسم الكيميائية (ChemSketch11) أو ChemBioDraw14

ChemBio3D Ultra 14 أو ...) ومن ثم ننسخه ونلصقه على شاشة الواجهة وبذلك نكون قد أدخلنا رموز الذرات المختلفة وعدد الإلكترونات في كل منها إضافةً إلى إحداثيات الذرات المختلفة داخل المركب وكذلك التعدد السبيني (مضروب السبين) داخل المركب وكذلك الذي يُحسب من العلاقة الآتية:

$$SM = 2S + 1 \tag{1}$$

حيث S يمثل العدد الكوانتي السبيني الكلي للجملة المدروسة (ذرة ، جزيئة ، أيون ، ... الخ) وبحسب من العلاقة:

$$S = k s \tag{2}$$

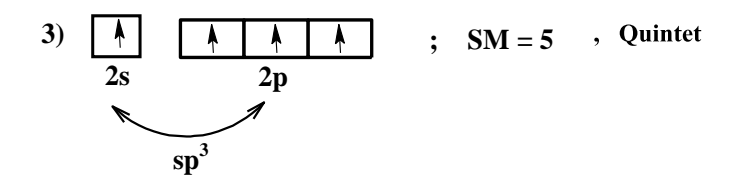
حيث يمثل s العدد الكوانتي السبيني للإلكترون وقيمته دائماً ($s=\frac{1}{2}$) و k يمثل عدد الإلكترونات الفردية (العازبة) في الجملة المدروسة.

فمثلاً لذرة الكربون ذات التركيب الإلكتروني:

$$C(Z=6): 1s^2 2s^2 2p^2$$

ثلاث قيم لـ SM تبعاً لحالات الذرة وهي:

$$\begin{array}{c|c} \mathbf{2} & & & \\ & \mathbf{5} & & \\ & \mathbf{5} & & \\ & & \mathbf{5} & \\ & & & & \mathbf{5$$



دراسة كيفية تحديد الخصائص الضوئية للمركبات الكيميانية كوانتياً: بعض مكونات مواد التجميل كأمثلة

والحالة الأكثر استقراراً هي الحالة الثلاثية، أي الموافقة للقيمة (SM = 3).

:(Working steps) خطوات العمل -2-II

لتوضيح كيفية تطبيق خطوات العمل نأخذ كمثال أحد مكونات مواد التجميل: حمض الأكريليك (Acrylic acid)، يُسمى أيضاً (2-propenoic acid) وهو مركب عضوي صيغته الجزيئية (المجملة) (C₃H₄O₂) يستخدم لتعليق الأصباغ في مستحضرات التجميل أو منتجات الشمس كما يقوم بتثبيت المستحلبات مثل الكريمات أو المستحضرات، صيغته البنائية:

1-2-II تحديد طاقتي الامتصاص والإصدار بالفلورة (إثارة الجزيئات من الحالة الأساسية إلى الحالات المُثارة الأحادية):

أولاً- خطوات العمل:

ملاحظة عامة: منعاً للالتباس يتم رسم البنية الفراغية الافتراضية للمركب المدروس بوساطة إحدى الواجهات البيانية (Chembiooffice أو GausView أو ...الخ) وحفظه باسم ما (ويفضل أن يكون الملف باسم المركب وليكن (M) كملف من نوع (mol) ضمن مجلد ما (ويفضل أن يكون المجلد باسم المركب) على قرص ما وليكن القرص D.

الخطوة الأولى: إيجاد البنية الهندسية الفُضلى في الحالة الأساسية Ground State) GS) وكذلك طيف الأشعة تحت الحمراء Infra-Red Spectrum) IR) للجزيئة M:

- يجب أن يبدو ملف الإدخال كما يأتى:

%chk=D:\ 1-M.chk

opt freq=noraman b3lyp/6-311+g(d,p) scrf=(smd,solvent=Solvent-name)

geom=connectivity

M: Opt + IR in Ground State

0 1

يجب أن يظهر الإخراج كما يأتي:

SCF Done: $E(RB3LYP) = \dots$ a.u. after cycles وهي الطاقة الكلية الإلكترونية للمركب في الحالة الأساسية (أي (E_1)). يجب تسجيل هذه القيمة لأنها سوف تُستخدم في حساب طاقة الامتصاص.

- وفي الفراغ أو الحالة الغازية (أي بدون مذيب) يجب أن يكون سجل الكلمات المفتاحية كما يأتي:

opt freq=noraman b3lyp/6-311+g(d,p) geom=connectivity

.TD-DFT الخطوة الثانية: إثارة الجزيئة من الحالة الأساسية إلى الحالة المثارة باستخدام

- ملاحظة: قبل الانتقال إلى الخطوة الثانية يتم نسخ الملف (1-M.chk) باسم جديد (2- M.chk) من طريق واجهة Gauss View يُعدّل ثمّ يُحفظ باسم (2-M)، ثمّ يُفتح الملف من النوع (mol) عن طريق واجهة Saving Gaussian Input File) عليها خيارين يتم تفعيل الخيار الثاني.

- يجب أن يبدو ملف الإدخال كما يأتى:

%chk=D:\ 2-M.chk

td=(nstates=6) rb3lyp/6-311+g(d,p) scrf=check guess=read geom=check

M: Vertical excitation with linear response solvation

0 1

- يجب أن يظهر الإخراج كما يأتي:

Excited State 1: Singlet-A" ... eV ... nm f=... $< S^{**}2>=....$

- وفي الفراغ أو الحالة الغازية (أي بدون مذيب) يجب أن يكون سجل الكلمات المفتاحية كما يأتى:

td=(nstates=6) rb3lyp/6-311+g(d,p) guess=read geom=check ltd=(nstates=6) rb3lyp/6-311+g(d,p) rb3lyp/6-g(d,p) rb3lyp/6-g(d,p) rb3lyp/6-g(d,p) r

دراسة كيفية تحديد الخصائص الضوئية للمركبات الكيميائية كوانتياً: بعض مكونات مواد التجميل كأمثلة

- ملاحظة: قبل الانتقال إلى الخطوة الثالثة يتم نسخ الملف (1-M.chk) باسم جديد (3-M.chk) ثمّ يُعدل ثمّ يُحفظ (3-M.chk) عن طريق واجهة GaussView يُعدل ثمّ يُحفظ باسم (3-M) كملف إدخال فتظهر نافذة بعنوان (Saving Gaussian Input File) عليها خيارين يتم تفعيل الخيار الثاني.

- يجب أن يبدو ملف الإدخال كما يأتى:

```
%chk=D:\ 3-M.chk
# rb3lyp/6-311+g(d,p) scrf=(smd,solvent=Solvent-name,read)
geom=check
guess=read
```

M: prepare for state-specific non-eq solvation by saving the solvent reaction field from the ground state

0 1

NonEq=write

-- link1 --

%chk=D:\ 3-M.chk

td=(nstates=6, root=1) rb3lyp/6-311+g(d,p) geom=check guess=read scrf=(smd,solvent= Solvent-name,ExternalIteration,read)

M : read non-eq solvation from ground state and compute energy of the first excited with the state-specific method

0 1

NonEq=read

- يجب أن يظهر الإخراج كما يأتى:

After PCM corrections, the energy is a.u.

وهي الطاقة الكلية الإلكترونية للمركب في الحالة المُثارة (أي \mathbf{E}_3). يجب تسجيل هذه القيمة \mathbf{E}_3 لأنها سوف تُستخدم في حساب طاقة الامتصاص.

- وفي الفراغ أو الحالة الغازية (أي بدون مذيب) يجب أن يكون سجل الكلمات المفتاحية كما يأتى:

rb3lyp/6-311+g(d,p) geom=check guess=read

-- link1 --

td=(nstates=6, root=1) rb3lyp/6-311+g(d,p) geom=check guess=read

الخطوة الرابعة: تهذيب هندسة الحالة المثارة الأولى باستخدام TD-DFT في حالة التوازن.

- ملاحظة: قبل الانتقال إلى الخطوة الرابعة يتم نسخ الملف (2- M.chk) باسم جديد (4- M.chk) ثمّ يُعدل ثمّ يُحفظ (4- M.chk) ثمّ يُعدل ثمّ يُعدل ثمّ يُحفظ باسم (4- M.chk) كملف إدخال فتظهر نافذة بعنوان (Saving Gaussian Input File) عليها خيارين يتم تفعيل الخيار الثاني.

- يجب أن يبدو ملف الإدخال كما يأتى:

%chk=D:\ 4- M.chk

opt=readfc td=(read,nstates=6,root=1) rb3lyp/6-311+g(d,p) scrf=(smd,solvent=Solvent-name) guess=read geom=modify

M: excited state opt

Modify geometry to break Cs symmetry since first excited state is A"

0 1

- يجب أن يظهر الإخراج كما يأتى:

Excited State 1: Singlet-A" eV nm f=... $< S^{**}2>=....$

Total Energy, $E(TD-HF/TD-KS) = \dots a.u.$

سوف تتم مقارنة طاقة الحالة المثارة الأولى (eV) ...) مع نتيجة الخطوتين السادسة والسابعة وسيُلاحظ الفرق (حيث يجب أن يكون أكبر قليلاً بما لايتجاوز (0.5 eV)).

دراسة كيفية تحديد الخصائص الضوئية للمركبات الكيميائية كوانتياً: بعض مكونات مواد التجميل كأمثلة

- وفي الفراغ أو الحالة الغازية (أي بدون مذيب) يجب أن يكون سجل الكلمات المفتاحية كما يأتى:

opt=readfc td=(read,nstates=6,root=1) rb3lyp/6-311+g(d,p)
guess=read geom=modify

الخطوة الخامسة: إنجاز حسابات تواتر الاهتزاز للتأكد من أننا في الحالة المثارة المهذبة (الفُضلى) ولسنا في إحدى الحالات الانتقالية. ومن أجل ذلك يجب تفحص التواترات الاهتزازية فيما إذا كان هناك بعض التواترات السالبة حيث يكون المركب في إحدى الحالات الانتقالية وهكذا نحتاج لتفحص ملف الإدخال للحصول على نتائج صحيحة.

- ملاحظة: قبل الانتقال إلى الخطوة الخامسة يتم نسخ الملف (4-M.chk) باسم جديد (5- M.chk) من النوع (mol)عن طريق واجهة GaussView يُعدل ثمّ يُحفظ باسم (M-5)، ثمّ يُفتح الملف من النوع (saving Gaussian Input File) عليها باسم (M-5) كملف إدخال فتظهر نافذة بعنوان (Saving Gaussian Input File) عليها خيارين يتم تفعيل الخيار الثاني.

- يجب أن يبدو ملف الإدخال كما يأتى:

%chk=D:\ 5- M.chk

freq=noraman td=(read, nstates=6, root=1) b3lyp/6-311+g(d,p) scrf=(smd,solvent= Solvent-name) guess=read geom=check

M: excited state Vibrational fq

0 1

- يجب التأكد أن جميع قيم الاهتزازات موجبة. وفي حال كانت إحداها أو أكثر سالبة، علينا مراجعة ملف الإدخال وإعادة الحسابات من جديد. وإلا علينا حساب طاقة الحالة المُثارة بطريقة أخرى كما سنرى لاحقاً.

- وفي الحالة الغازية (أي بدون مذيب) يجب أن تكون سجل الكلمات المفتاحية كما يأتي: # freq=noraman td=(read, nstates=6, root=1) b3lyp/6-311+g(d,p) guess=read geom=check

الخطوة السادسة: توصيف حالة الإصدار (المذيب المثار).

- ملاحظة: قبل الانتقال إلى الخطوة السادسة يتم نسخ الملف (5- M.chk) باسم جديد -6) M.chk فإن الحسابات ستأخذ الإدخال من الملف (5- M.chk) في الخطوة الخامسة، ثمّ يُفتح

سلسلة العلوم الأساسية أد. عدنان كودلأ

الملف من النوع (mol.) عن طريق واجهة GaussView يُعدل ثمّ يُحفظ باسم (M-6) كملف إدخال فتظهر نافذة بعنوان (Saving Gaussian Input File) عليها خيارين يُفعل الخيار الثاني. – يجب أن يبدو ملف الإدخال كما يأتي:

%chk=D:\ 6- M.chk

td=(read,nstates=6,root=1) b3lyp/6-311+g(d,p) scrf=(smd,solvent=Solvent-name,ExternalIteration,read) guess=read geom=check

M : emission state-specific solvation at first excited state optimized geometry

0 1

NonEq=write

- يجب أن يظهر الإخراج كما يأتى:

.After PCM corrections, the energy is a.u

وهي الطاقة الإلكترونية الكلية للمركب (أي \mathbf{E}_6). يجب تسجيل هذه القيمة لأنها سوف تُستخدم في حساب طاقة الإصدار بالفلورة.

- وفي الفراغ أو الحالة الغازية (أي بدون مذيب) يجب أن تكون سجل الكلمات المفتاحية كما يأتي:

td=(read,nstates=6,root=1) b3lyp/6-311+g(d,p) guess=read geom=check

نُلاحظ أن نتيجة هذه الخطوة هي نفسها نتيجة الخطوة الرابعة.

الخطوة السابعة: الإصدار إلى الحالة الأساسية النهائية (حالة اللاتوازن).

- ملاحظة: قبل الانتقال إلى الخطوة السابعة يتم نسخ الملف (6- M.chk) باسم جديد (7- M.chk) في الخطوة السادسة، ثمّ يُخط السادسة، ثمّ يُخط باسم في الملف من النوع (mol) عن طريق واجهة GaussView يُعدل ثمّ يُخط باسم (7-M) كملف إدخال فتظهر نافذة بعنوان (Saving Gaussian Input File) عليها خيارين يتم تفعيل الخيار الثاني.

- يجب أن يبدو ملف الإدخال كما يأتى:

دراسة كيفية تحديد الخصائص الضوئية للمركبات الكيميانية كوانتياً: بعض مكونات مواد التجميل كأمثلة

%chk=D:\ 7- M.chk

b3lyp/6-311+g(d,p) scrf=(smd,solvent=Solvent-name,read) guess=read geom=check

M: emission state-specific solvation at first excited state optimized geometry

0 1

NonEq=read

- يجب أن يظهر الإخراج كما يأتي:

SCF Done: E(RB3LYP) = a.u. after ... cycles وهي الطاقة الكلية الإلكترونية للمركب (أي (E_7)). يجب تسجيل هذه القيمة لأنها سوف تُستخدم في حساب طاقة الإصدار بالفلورة.

- وفي الفراغ أو الحالة الغازية (أي بدون مذيب) يجب أن تكون سجل الكلمات المفتاحية كما يأتي:

#b3lyp/6-311+g(d,p) guess=read geom=check

ثانياً - الحسابات:

لتوضيح كيفية إجراء الحسابات تمّ تطبيق خطوات العمل السابقة على حمض الإكريليك (Solvent-name=Acetonitrile) باستخدام المجموعة القاعدية (M=Acrylic acid):
المجموعة القاعدية (6-311++g(2d,p)):

1- يتم تحويل قيم الطاقات الكلية الإلكترونية إلى (eV) أو إلى جملة الوحدات الدولية (أي إلى -1 kJ/mol)، كما يأتي :

1 a.u. = 1 Hartree = $27.2 \text{ eV} = 27.2 \times 23.0702 \text{ kcal/mol}$ = $27.2 \times 23.0702 \times 4.18 \text{ kJ/mol} = 2622.989 \text{ kJ/mol}$

2- حساب طاقة الامتصاص في الحالة الأُحادية (من الخطوة الأولى ومن الخطوة الثالثة):

$$\varepsilon_{absorption} = h v_{absorption} = |E_1 - E_3| = |-4.8199| \text{ eV} = 4.8199 \text{ eV}$$

3- حساب طول موجة الضوء الممتص (أي الضوء اللازم لإثارة الجزيئة):

$$\begin{array}{ll} \epsilon_{\text{absorpion}} = h \nu_{\text{absorpion}} = h \frac{c}{\lambda_{\text{absorpion}}} \\ \\ \Rightarrow \lambda_{\text{absorpion}} = \frac{h c}{\epsilon_{\text{absorpion}}} = 257.24 \text{ nm} \end{array}$$

4- تسجيل طاقة الحالة المثارة الأولى الأحادية أو الطاقة الأدياباتية (من الخطوة الرابعة و الخامسة):

$$\epsilon_{\text{adiabatic}} = \epsilon_{\text{first excited singlet state}} = 3.6007 \text{ eV}$$

Excited State 1: Singlet-A" 3.6007 eV 344.34 nm f=0.0001 <S**2>=0.000

5- حساب طاقة الإصدار بالفلورة (من الخطوة السادسة و الخطوة السابعة):

$$\mathbf{E}_{\text{emission}}^{\text{F}} = \mathbf{h} \mathbf{v}_{\text{emission}}^{\text{F}} = |\mathbf{E}_{6} - \mathbf{E}_{7}| = |+3.0649| \text{ eV} = 3.0649 \text{ eV}$$

في حال تعثر إيجاد طاقة الحالة المثارة الأولى سواء الأحادية أو الثلاثية، يُمكن إيجاد طاقة الحالة المثارة الأولى من خلال (مثلاً في الحالة الأحادية):

$$\epsilon_{adiabatic} = \epsilon_{(S_1)} = \epsilon_{emission}^F + \epsilon_{freq}(S_0) = 3.0649 + 0.4647 = 3.5296 \text{ eV}$$

6- حساب طول موجة الضوء الصادر بالفلورة:

$$\lambda_{\text{emission}}^{F} = \frac{h c}{\epsilon_{\text{emission}}^{F}} = 404.54 \text{ nm}$$

7- حساب مردود الفلورة:

$$Q^{F} = \frac{\epsilon^{F}_{emission}}{\epsilon^{S}_{absorption}} = \frac{3.0649}{4.8199} = 0.64$$

دراسة كيفية تحديد الخصائص الضوئية للمركبات الكيميانية كوانتياً: بعض مكونات مواد التجميل كأمثلة

8- حساب الطاقة التي امتصتها الجزيئة واستخدمت في التنشيط (تغيير البنية الإلكترونية وبالتالي الهندسية للجزيئة) في الحالة الأحادية:

$$\mathbf{\epsilon}^{S}$$
 = $\mathbf{\epsilon}^{S}$ - $\mathbf{\epsilon}^{F}$ = 1.2903 eV

9- حساب المردود الكوانتي:

$$Q^{s} = \frac{\epsilon^{s}}{\underset{absorption}{\epsilon^{s}}} = \frac{1.2903}{4.8199} = 0.268$$

10- مقارنة عرض المجال المحظور في الحالة المنشطة (من الخطوة الرابعة) مع عرض المجال المحظور في الحالة الأساسية (من الخطوة الأولى):

- عرض المجال المحظور في الحالة الأساسية (من الخطوة الأولى):

$$\mathbf{E}_{\text{gap}} = \left| \mathbf{E}_{\text{LUMO}} - \mathbf{E}_{\text{HOMO}} \right| = 6.3036 \text{ eV}$$

- عرض المجال المحظور في الحالة المنشطة (من الخطوة الرابعة):

$$\mathbf{E}_{\text{gap}} = \left| \mathbf{E}_{\text{LUMO}} - \mathbf{E}_{\text{HOMO}} \right| = 5.0132 \text{ eV}$$

- نجد أن الفرق بينهما (1.2904 eV). أي أن الضوء قد أدى إلى تقليص عرض المجال المحظور بمقدار (% 20.5). أي أنه أدى إلى زيادة تفاعلية المركب المدروس بنسبة (% 20.5).

11- مقارنة عزم ثنائي الأقطاب في الحالة المنشطة (من الخطوة الرابعة) مع عزم ثنائي الأقطاب في الحالة الأساسية (من الخطوة الأولى):

- عزم ثنائي الأقطاب في الحالة الأساسية (من الخطوة الأولى):

$$\mu_{\rm p} = 2.927 \; {\rm Debye}$$

- عزم ثنائي الأقطاب في الحالة المنشطة (من الخطوة الرابعة):

$$\mu_{\rm p} = 4.352$$
 Debye

- نجد أن الفرق بينهما (1.425 Debye). أي أن الضوء قد أدى إلى زيادة عزم ثنائي الأقطاب بمقدار (% 48.7). أي أدى إلى زيادة استقطابية المركب المدروس بنسبة (% 48.7).

II-2-2- تحديد طاقتي الامتصاص و الإصدار بالفسفرة (إثارة الجزيئات من الحالة الأساسية إلى الحالات المثارة الثلاثية):

أولاً - طريقة العمل:

لمعرفة طاقة الإصدار بالفسفرة، تتم إعادة خطوات العمل (الثانية ، الرابعة – السابعة)، كما في الفقرة السابقة مع إجراء بعض التعديلات على ملفات الإدخال:

حيث يبدو ملف الإدخال في الخطوة الثانية كما يأتي:

%chk=D:\ 2-M.chk

td=(nstates=6) ub3lyp/6-311+g(d,p) scrf=check guess=read geom=check

M: Vertical excitation triplet states 0 3

والخطوة الرابعة كما يأتى:

%chk=D:\ 4-M.chk

td=(nstates=6,root=1,read) ub3lyp/6-311+g(d,p) scrf=(smd,solvent=Solvent-name) guess=read geom=modify opt=readfc

M: exited triplet state optimization

0 3

والخطوة الخامسة كما يأتى:

%chk=D:\ 5-M.chk

freq=noraman td=(nstates=6,root=1,read) b3lyp/6-311+g(d,p) scrf=(smd,solvent= Solvent-name) guess=read geom=check

M: excited triplet-state Vibrational Fq

0 3

دراسة كيفية تحديد الخصائص الضوئية للمركبات الكيميائية كوانتياً: بعض مكونات مواد التجميل كأمثلة

والخطوة السادسة كما يأتى:

%chk=D:\ 6- M.chk

td=(nstates=6,root=1,read) b3lyp/6-311+g(d,p)
scrf=(smd,solvent=Solvent-name,ExternalIteration,read) guess=read
geom=check

M: emission state-specific solvation at first excited state optimized geometry

0 3

NonEq=write

والخطوة السابعة كما يأتى:

%chk=D:\ 7- M.chk

 $\label{eq:continuous} \begin{tabular}{ll} \# b3lyp/6-311+g(d,p) & scrf=(smd,solvent=Solvent-name,read) \\ guess=read \end{tabular}$

geom=check

M: emission state-specific solvation at first excited state optimized geometry

0 3

NonEq=read

ثانياً - الحسابات:

لتوضيح كيفية إجراء الحسابات تمّ تطبيق خطوات العمل السابقة على حمض الإكريليك (Solvent-name=Acetonitrile) بوجود أسيتو نتريل كمذيب (M=Acrylic acid) باستخدام المجموعة القاعدية (6-311++g(2d,p)):

او إلى جملة الوحدات الدولية (أي إلى الكلية الإلكترونية إلى (eV) أو إلى جملة الوحدات الدولية (أي إلى $^{-1}$

1 a.u. = 1 Hartree = $27.2 \text{ eV} = 27.2 \times 23.0702 \text{ kcal/mol}$ = $27.2 \times 23.0702 \times 4.18 \text{ kJ/mol} = 2622.989 \text{ kJ/mol}$ 2- حساب طاقة الإصدار بالفسفرة (من الخطوة السادسة و الخطوة السابعة):

$$\epsilon_{\text{emission}}^{Ph} = h v_{\text{emission}}^{Ph} = \left| E_6 - E_7 \right| = \left| + 0.5744 \right| \text{eV} = 0.5744 \text{ eV}$$

3- حساب طول موجة الضوء الصادر بالفسفرة:

$$\lambda_{\text{emission}}^{Ph} = \frac{-h \ c}{\epsilon_{\text{emission}}^{Ph}} = 2158.51 \ nm$$

4- حساب مردود الفسفرة:

$$Q^{Ph} = \frac{\varepsilon^{Ph}}{\varepsilon^{S}}_{absorption} = \frac{0.5744}{4.8199} = 0.12$$

5- حساب طاقة الحالة المثارة الأولى الثلاثية أو الطاقة الأدياباتية (من الخطوة الرابعة): لم بتم هنا إيجاد الحالة المثارة الأولى الثلاثية:

Excited State 1: 3.010-A" -0.9897 eV -1252.75 nm f=-0.0000 <S**2>=2.016

ملحظة: في حال تعثر إيجاد طاقة الحالة المثارة الأولى سواء الأحادية أو الثلاثية، يُمكن إيجاد طاقة الحالة المثارة الأولى من خلال (مثلاً في الحالة الثلاثية):

$$\epsilon_{adiabatic} = \epsilon_{(T_1)} = \epsilon_{emission}^{Ph} + \epsilon_{freq}(s_0) = 0.5744 + 0.4674 = 1.0418 \text{ eV}$$

6- حساب طاقة العبور بين الأنظمة (أي الطاقة اللازمة لاقتران مدار - سبين):

$$\varepsilon_{\text{intersystem crossing}} = \varepsilon(s_1) - \left[\varepsilon(T_1) + \varepsilon_{\text{freq}}(T_1)\right]$$
$$= 3.5296 - \left[1.0418 + 0.4675\right] = 2.0203 \text{ eV}$$

3-2-II مخطط جابلونسكى:

- طاقة الحالة الأساسية (S₀) تُعادل الصفر:

$$\left(\begin{array}{cc} \epsilon & \equiv & 0.0 \text{ eV} \end{array}\right)$$

دراسة كيفية تحديد الخصائص الضوئية للمركبات الكيميائية كوانتياً: بعض مكونات مواد التجميل كأمثلة

```
- السويات الاهتزازية في الحالة الأساسية:
  Frequencies -- 99.6616
                                                                    482.2406
                                             283.2471
  Frequencies -- 534.1493
                                             565.8305
                                                                    586.6724
 Frequencies -- 837.1164
                                             838.0763
                                                                   1015.6377
 Frequencies -- 1026.1913
                                             1032.9170
                                                                    1196.440
 Frequencies -- 1316.5075
                                            1364.9944
                                                                    1444.6422
 Frequencies -- 1671.0551
                                                                    3153.1550
                                            1733.5243
 Frequencies -- 3185.8232
                                                                    3748.4659
                                            3242.4496
              3748.4659 \text{ cm}^{-1} = 2667.76 \text{ nm} = 0.4647 \text{ eV}
               1733.5243 \text{ cm}^{-1} = 1233.74 \text{ nm} = 0.2149 \text{ eV}
                                             - طاقة الحالة المُثارة الأولى الأحادية (S1):
                   \left(\begin{array}{c} \boldsymbol{\epsilon}(\boldsymbol{S}_1) \\ \text{first excited singlet state} \end{array}\right)
                                             \equiv 3.5296 \text{ eV}
Excited State 1: Singlet-?Sym 3.6007 eV 344.34 nm f=0.0001
                                < S**2 > = 0.000
                              وتُعادل الصفر بالنسبة للسويات الاهتزازية في هذه الحالة.
                                  - السويات الاهتزازية في الحالة المُثارة الأولى الأحادية:
                                                                  239.7439
     Frequencies -- -45.9798
                                             223.1984
     Frequencies -- 414.7571
                                             419.2538
                                                                  568.3987
     Frequencies -- 572.0217
                                             678.5184
                                                                  852.3595
    Frequencies -- 886.3429
                                            1019.7641
                                                                  1157.2669
    Frequencies -- 1231.5076
                                          1278.0153
                                                                  1367.1411
    Frequencies -- 1488.6216
                                           1622,4559
                                                                  3165.4976
    Frequencies -- 3182.0061
                                            3261.6579
                                                                  3740.7663
               3740.766 \text{ cm}^{-1} = 2673.25 \text{ nm} = 0.4638 \text{ eV}
              1622.4559 \text{ cm}^{-1} = 1154.69 \text{ nm} = 0.2011 \text{ eV}
                                              - طاقة الحالة المُثارة الأولى الثلاثية (T1):
                     \left(\begin{array}{cc} \epsilon(T_{_{1}}) & \equiv & 1.0418 \ eV \end{array}\right) first excited triplet state
```

Excited State 1: 3.010-?Sym -0.9897 eV -1252.76 nm f=-0.0000

<S**2>=2.016

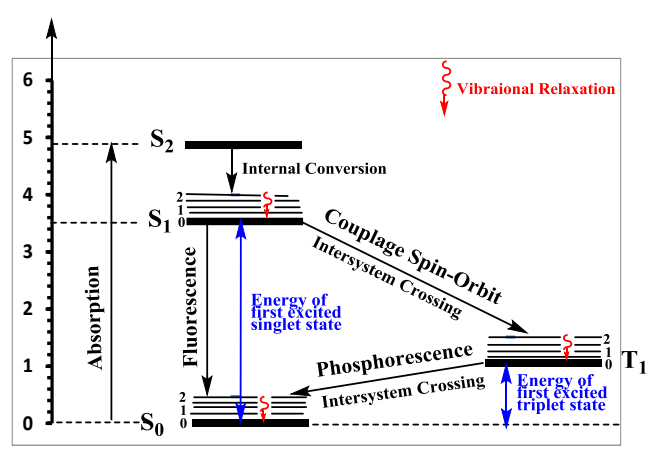
وتُعادل الصفر بالنسبة للسويات الاهتزازية في هذه الحالة.

- السويات الاهتزازية في الحالة المُثارة الأولى الثلاثية:

Frequencies	-487.6826	152,2332	211.8206
Frequencies	250.1663	505.8970	543.5833
Frequencies	631.3712	639.6549	810.6789
Frequencies	861.7500	986.9526	1063.0995
Frequencies	1215.0417	1319.4104	1405.3142
Frequencies	1453.8203	1664.3757	3181.6230
Frequencies	3230.2617	3302.2478	3770.4928

3770.4928 cm⁻¹ = 2652.17 nm = 0.4675 eV 1405.3142 cm⁻¹ = 1000.15 nm = 0.1742 eV

Energy [eV]



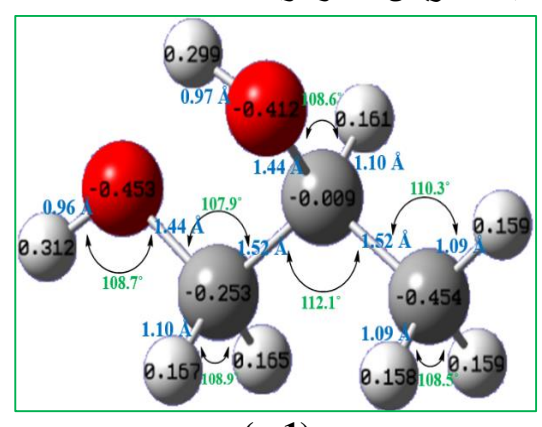
:(Results and Discussion) النتائج والمناقشة

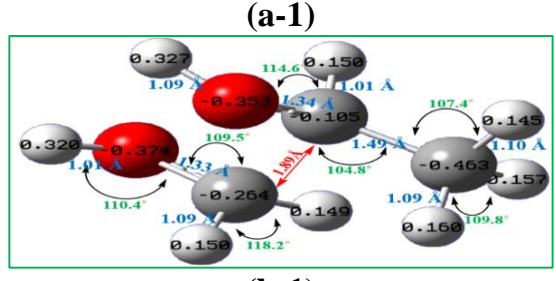
لتوضيح كيفية مناقشة نتائج تطبيق خطوات العمل السابقة تمّ اختيار بروبيلين غليكول (Propylene glycol) كأحد مكونات مواد التجميل.

بروبيلين غليكول هو مركب عضوي اصطناعي صيغته الجزيئية (المجملة) (C₃H₈O₂) وكتلته المولية (Propane-1,2-diol)، يسمى أيضاً (76.09g/mol) وهو سائل لزج عديم اللون، وتعود أهمية بروبيلين غليكول كونه من المواد الحافظة المضادة للجراثيم (Antimicrobial preservative) فهو يستخدم بشكل واسع كمذيب ومادة حافظة في العديد من

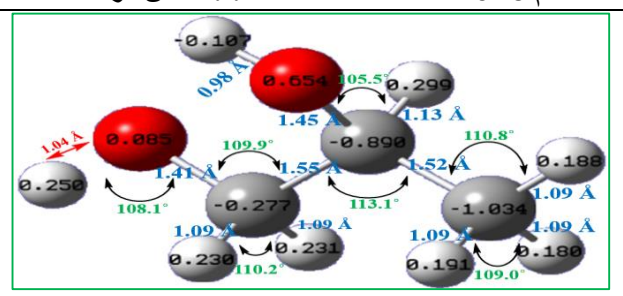
المستحضرات الصيدلانية، ويتمتع بتأثير مطهر فهو يشبه في ذلك الكحول، إلا أن فعاليته أقل بقليل، كما يستخدم في منتجات التجميل كونه مادة مرطبة (Humectant) ويستخدم كعامل مثبت (stabilizer) يُضاف إلى مادة أخرى من أجل حفظ خصائصها الطبيعية والكيميائية من التغيير. صبغته النائية:

تمت دراسة تأثير الضوء في الخصائص البنيوية والإلكترونية لبروبيلين غليكول في الحالة السائلة بوجود مذيب الإيتانول، حيث وُجدت البنى الهندسية الفضلى لمركب بروبيلين غليكول في الحالة الأساسية (أي قبل التعريض للضوء) والحالات المثارة الأحادية والثلاثية (أي يعد التعريض للضوء)، كما هو مبين في الشكل (1) مع توزع الشحنات الجزئية مقدرة بالإلكترون وأطوال الروابط بالأنغستروم والزوايا بالدرجات. ويتضمن الجدول (1) قيم بعض المقادير المميزة للخصائص الطاقية والإلكترونية لمركب بروبيلين غليكول قبل التعريض للضوء وبعده.





(b-1)



(c-1)

الشكل (1): البنى الهندسية الفراغية لـ بروبيلين غليكول

(a-1): البنية الهندسية الفضلى لـ بروبيلين غليكول قبل التعريض للضوء في الحالة الأساسية.

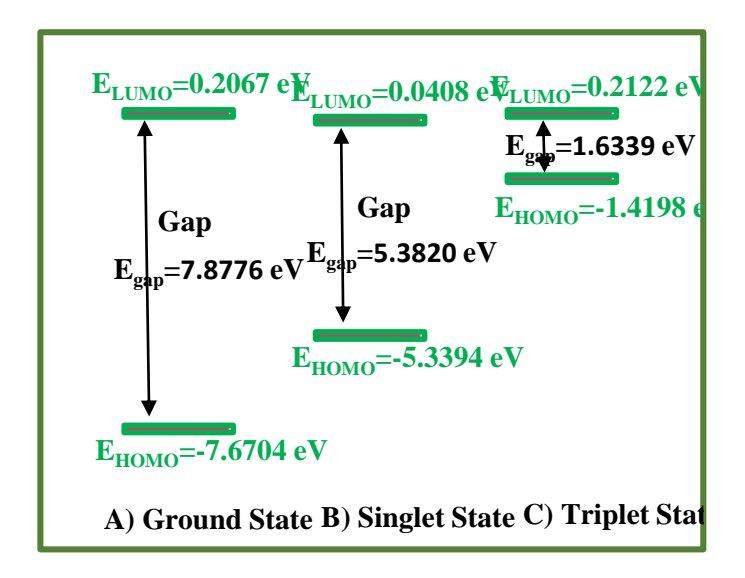
(b-1): البنية الهندسية الفضلى لـ بروبيلين غليكول بعد التعريض للضوء في الحالة المُثارة الأحادية.

(c-1): البنية الهندسية الفضلي لـ بروبيلين غليكول بعد التعريض للضوء في الحالة المُثارة الثلاثية.

الجدول (1): الخصائص الطاقية والإلكترونية له بروبيلين غليكول.

الخاصية	قا التصيف	بعد التعريض للضوء		$({ m E}_{ m rel}\ \%)$ نسبة التغير	
الالكترونية الإلكترونية	قبل التعريض للضوء	الحالة المثارة	الحالة المثارة	الحالة المثارة	الحالة المثارة
الإنتترونية	تنصوع	الأحادية	الثلاثية	الأحادية	الثلاثية
D _e (M) (eV)	52.0415	46.2374	45.3753	-11.15	-12.80
E _{LUMO} (eV)	0.2067	0.0408	0.2122	-80.26	-2.63
E _{HOMO} (eV)	-7.6704	-5.3394	-1.4198	-30.39	-81.48
Egap (eV)	7.8776	5.3820	1.6339	-31.68	-79.25

تمثل طاقات HOMO و LUMO لمركب بروبيلين غليكول في الشكل (2) حيث يُلاحظ تغيّر واضح في عرض المجال المحظور ($E_{\rm gap}$) بعد التعريض للضوء.



الشكل (2): عرض المجال المحظور لـ بروبيلين غليكول

(A) الحالة الأساسية ، (B) الحالة المثارة الأحادية ، (C) الحالة المثارة الثلاثية

باستقراء القيم في الجدول (1) والشكلين (1) و(2) نلاحظ أن تعريض بروبيلين غليكول للضوء أدى إلى:

- 1. تخرّب مركب بروبيلين غليكول، وتفكّك بعض الروابط في الحالتين المثارة الأحادية والثلاثية، ففي الحالة الأحادية تفككت الرابطة d_{C1-C3} لتصبح المسافة بين الذرتين (1.898 Å).
- 2. تناقص طاقة التفكك (وبالتالي طاقة الارتباط) بمقدار (11%-) أي أن الروابط تصبح أضعف والمركب أقل ارتباطاً بعد تعريض جزيئة بروبيلين غليكول للضوء.
- انخفاض طاقة المدار LUMO في الحالة المثارة الأحادية مما يدل على فعالية المركب وميوله لاكتساب إلكترونات (خاصية المواد المؤكسدة) [26].
- 4. ارتفاع طاقة المدار HOMO نتيجة تعريض المركب للضوء، مما يدل أن المركب يصبح أقل استقراراً عند تعريضه للضوء وأكثر نشاطاً كيميائياً.
- تناقص في عرض فجوة الطاقة أي أن الضوء أدى إلى تقليص عرض المجال المحظور بمقدار
 (31.7%-) وبالتالى إلى تناقص ثباته واستقراره وازدياد تفاعلية جزيئة بروبيلين غليكول.

سلسلة العلوم الأساسية أ.د. عدنان كودلأ

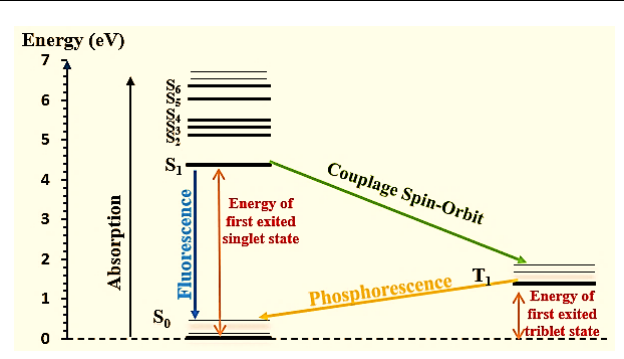
لتفسير أسباب التغيرات البنيوية والإلكترونية السابقة تمّ حساب قيم بعض المقادير المميزة للخصائص الضوئية لـ بروبيلين غليكول (مثل: طاقات الامتصاص ($\epsilon_{Absorption}^{Ph}$) والإصدار بالفلورة ($\epsilon_{emission}^{F}$) والإصدار بالفسفرة ($\epsilon_{emission}^{Ph}$) وطاقة التشيط ($\epsilon_{emission}^{Ph}$) وطاقة العبور بين الأنظمة إضافةً إلى المردود الكوانتي $\epsilon_{emission}$ ومردود كل من الفلورة $\epsilon_{emission}^{Ph}$) بوجود الإيتانول كمذيب، ثمّ أدرجت النتائج في الجدول (2).

الجدول (2): الخصائص الضوئية لـ بروبيلين غليكول

الخاصية الضوئية	المقادير الفيزيائية وقيمها		الانتقال الإلكتروني الموافق	نوع الأشعة الضوئية
الامتصاص	$\mathcal{E}_{Absorption}$ (eV)	6.5460	$S_0 \rightarrow S_6$	UVC
	$\lambda_{Absorption}$ (nm)	189.53	\mathcal{O}_0 / \mathcal{O}_6	UVC
الإصدار بالفلورة	$\varepsilon_{emission}^{F}$ (eV)	2.8367	$S_1 \rightarrow S_0$	Vis (Violet)
الإصدار بالعنورة	$\mathcal{\lambda}^F_{emission}$ (nm)	437.37		
	$\mathcal{E}_{emission}^{Ph}$ (eV)	0.9333	$T_1 \rightarrow S_0$	IR
الإصدار بالفسفرة	$\lambda_{emission}^{Ph}$ (nm)	1329.35		
العبور بين الأنظمة	ε _{Intersystem Crossing} (eV)	2.5070	$S_1 \rightarrow T_1$	-
التنشيط $oldsymbol{arepsilon}_{Activation}$ (eV)		3.2407	-	-
المردود الكوانتي	Ф	0.49	-	-
مردود الفلورة	Φ^{F}	0.50	-	_

دراسة كيفية تحديد الخصائص الضوئية للمركبات الكيميائية كوانتياً: بعض مكونات مواد التجميل كأمثلة

مردود القسفرة	$\Phi^{ ext{Ph}}$	0.14	-	_
	1	1		i e e e e e e e e e e e e e e e e e e e



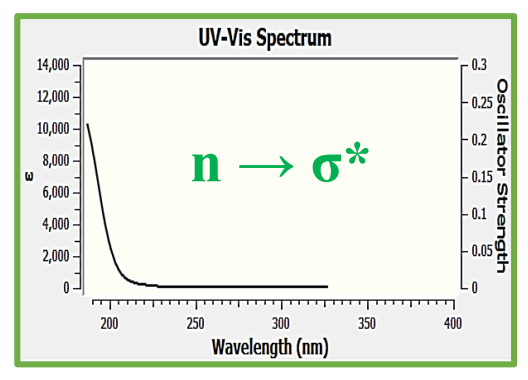
الشكل (3): مخطط جابلونسكى لـ بروبيلين غليكول

باستقراء قيم الجدول (2) والشكل (3) نخلص إلى النتائج الآتية:

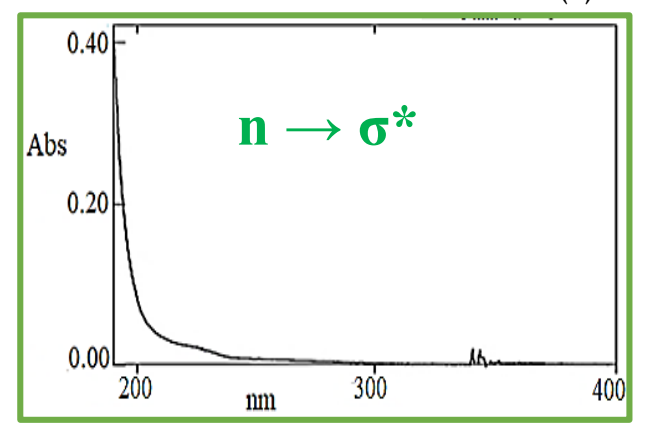
- 1. لا تتمتع جزيئة بروبيلين غليكول بخاصية الفسفرة (أي ليس لها طيف فسفرة) لعدم إمكانية حدوث اقتران مدار –سبين المرتبط بحدوث تداخل بين السويات الاهتزازية في الحالتين الثلاثية والأحادية وهذا غير ممكن لكون طاقة العبور بين الأنظمة كبيرة جداً 0.5070 (eV). بينما تتمتع بخاصية الفلورة. حيث تظهر قمة وحيدة في طيف الفلورة عند طول الموجة (437.37 nm) وهناك تألق باللون البنفسجي.
- 2. يمكن استخدام البروبيلين غليكول في التفاعلات الضوئية نظراً لكون المردود الكوانتي جيد (49%). حيث أن قسماً كبيراً من طاقة الضوء الممتص يتحول إلى طاقة تفاعل 3.2407) ولا ويستهلك في تتشيط الجزيئة وهذا ما لاحظناه من خلال التغيرات في أطوال الروابط في الشكل (1) وكذلك في طاقة التفكك وعرض المجال المحظور في الجدول (1). لذلك لا ينصح بتعريض مواد التجميل التي تحوي البروبيلين غليكول إلى الأشعة فوق البنفسجية في منطقة الـ UVC،

وكخطوة أخيرة تتم دراسة الخصائص الطيفية الضوئية من خلال إيجاد طيف الأشعة المرئية وفوق البنفسجية (UV-Vis Spectrum) وكذلك طيف الأشعة تحت الحمراء (IR Spectrum).

عند دراسة امتصاصية بروبيلين غليكول للأشعة المرئية وفوق البنفسجية (UV-Vis) كوانتياً وفق الشكل (4) ومقارنته بالطيف المرجعي التجريبي $^{[27]}$ وفق الشكل (5) نجد قمة امتصاص واحدة ناتجة عن الانتقال (σ^*).



الشكل (4): طيف UV-Vis المحسوب كوانتياً لـ بروبيلين غليكول.



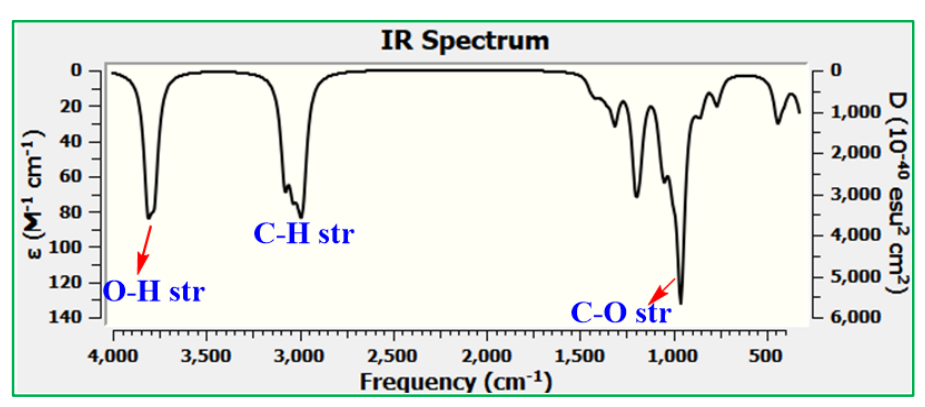
الشكل (5): طيف UV-Vis التجريبي المرجعي[27] لـ بروبيلين غليكول.

يُوضِّح الجدول (3) مقارنة الأطوال الموجية المحسوبة كوانتياً مع القيم التجريبية المرجعية حيث كانت القيم شبه متطابقة.

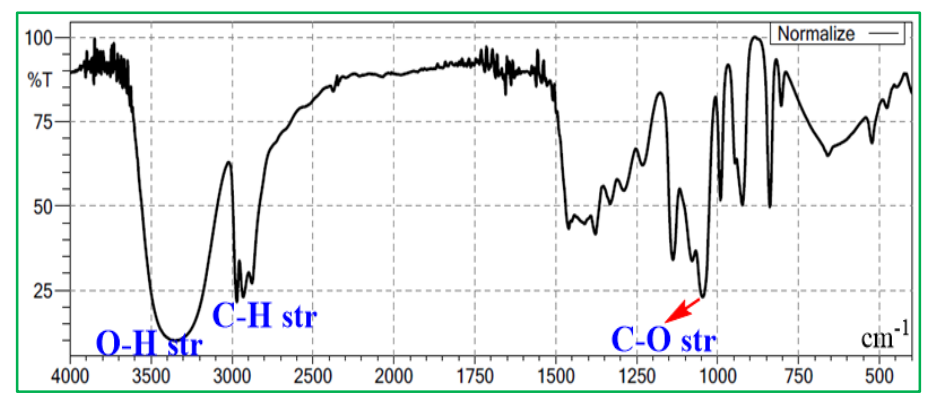
الجدول (3): الأطوال الموجية والانتقالات الإلكترونية الموافقة لـ بروبيلين غليكول.

No.	الانتقالات الإلكترونية	(nm) طول الموجة		
		المحسوب كوانتياً	المرجعي التجريبي [27]	
λ_1	$n \rightarrow \sigma^*$	189.9	190.0	

أما عند دراسة امتصاصية بروبيلين غليكول للأشعة تحت الحمراء نحصل على طيف الـ IR كما في الشكل (6)، وحُددت عصابات الامتصاص عليه ومقارنته مع الطيف التجريبي المرجعي [27] كما في الشكل (7).



الشكل (6): طيف الأشعة تحت الحمراء IR المحسوب كوانتياً لـ بروبيلين غليكول.



الشكل (7): طيف الأشعة تحت الحمراء IR التجريبي المرجعي[27] لـ بروبيلين غليكول.

سلسلة العلوم الأساسية أ.د. عدنان كودلأ

بعد حساب طيف IR الكوانتي لمركب بروبيلين غليكول يمكن تنظيم أهم قيم تواترات الاهتزاز في الجدول (4) ثم مقارنتها مع قيم مرجعية.

المجموعة الوظيفية	و <i>جي</i> cn)	نوع الحركة	
المجموعة الوطيعية	المحسوب كوانتياً	المرجعي التجريبي [27]	نوع الكرك
O-H stretch	3781 & 3816	3360 free	امتطاط
C-H stretch	3096-2998	2995-2890	امتطاط
C-OH stretch	1021	1045	امتطاط

الجدول (4): قيم بعض تواترت الاهتزاز لـ بروبيلين غليكول.

تدل نتائج الجدول (4) أن القيم متقاربة بين النتائج المحسوبة كوانتياً في هذا العمل والنتائج التجريبية المرجعية. ولكن عصابة الامتصاص العائدة لاهتزاز امتطاط الرابطة (O-H stretch) تظهر في الطيف التجريبي عريضة نظراً لتشكل روابط هيدروجينية بين الجزيئات أما شدة امتصاصها الكبير فهي مقياس لقوة الروابط الهيدروجينية [28]. حيث يتم إهمال هذه القوة وقوى فيزيائية أخرى في الدراسة الكوانتية الأمر الذي يفسر انزياح عصابة الامتصاص العائدة لامتطاط اهتزاز الروابط (O-H) نحو القيم الكبيرة.

-IV الخلاصة والاستنتاجات (Summary and Conclusions):

تّم اعتماد مجموعة من الخطوات لدراسة تأثير الضوء على أي مركب كيميائي وتحديد خصائصه البنيوية والإلكترونية والضوئية والطيفية كوانتياً من خلال:

- إيجاد البننى الهندسية الفراغية الفُضلى للمركب المدروس في الحالة الأساسية (أي قبل تعريض المركب للضوء).
 - حساب أطوال الروابط والزوايا ومراقبة التغيرات التي تطرأ عليها.
- حساب قيم بعض المقادير المميزة للخصائص الإلكترونية والطاقية ومراقبة التغيرات الحاصلة.

دراسة كيفية تحديد الخصائص الضوئية للمركبات الكيميانية كوانتياً: بعض مكونات مواد التجميل كأمثلة

- حساب قيم بعض المقادير المميزة للخصائص الضوئية، مثل (طاقة وطول موجة الضوء الممتص، طاقة وطول موجة الضوء الصادر كتألق فلورة أو فسفرة، المردود الكوانتي، ...). إن تنفيذ تلك الخطوات لا يحتاج إلى مهارات خاصة أو إمكانيات كبيرة. إذ يكفي أن يتقن الباحث الكيميائي العمل على الحاسوب والبرامج الخاصة اللازمة لإجراء مثل تلك الحسابات باستخدام حواسيب ذات مواصفات جيدة. وعليه تُعد الكيمياء الكوانتية أداة هامة من أدوات البحث العلمي الحديثة المرادفة للأدوات البحثية التجريبية وهي غير مكلفة ومتاحة للباحث الكيميائي.

References المراجع

- [1] Aydogan B., Photoinitiated Polymerizations by Electron Transfer Reactions, Istanbul Technical University, (2010).
- [2] Coyle J. D., **Introduction to Organic Photochemistry**, British Library Cataloguing in Publication Data (1989).
- [3] Simonovich S., Physical Organic Photochemistry and Basic Photochemical Transformations, Journal of Organic Chemistry, (2011).
- [4] Ghanoum K., **Photosynthesis and Quantum-chemical Study of Some Aromatic Compounds**, Doctorate -Thesis, Albaath-University-Syria, chapter 1 (2020).
- [5] Wiley J., **Advances in Photochemistry**, Center for Photochemical Sciences, Bowling Green State University, Bowling Green, Ohio, Vol. 27 (2002).
- [6] Belzoni V., Ceroni P., Alberto Juris A., **Photochemistry and Photophysics**, Wiley-VCH Verlag GmbH, Boschstr Weinheim, Germany (2014).
- [7] Klessinger M., Michl J., University of Colorado, Excited state and Photochemistry of Organic Molecules (1995).

- [8] Nunn A., Experimental and Theoretical Investigations of The Photochemistry of Styrene and The Creation and Characterization of Shaped Femtosecond Ultraviolet Laser Pulses, Doctoral thesis, University College London, chapter1 (2010).
- [9] Simonovich S., Physical Organic Photochemistry and Basic Photochemical Transformations, Journal of organic *chemistry*, (2011).
- [10] Becke A.D., **Density-functional exchange-energy pproximation** with correct asymptotic behavior, Phys. Rev. A38 (1988) p.3098.
- [11] Le C. , Yang W. , Parr R.G., **Development of the Colle-Salvetti correlation- Energy formula into a functional of the electron density**, Phys. Rev. B37 (1988) p.785.
- [12] Runge E., Gross E.K.U., **Density-Functional Theory for Time- Dependent Systems**, Phys. Rev. Lett. 52 (1984) p. 997.
- [13] Ghanoum K., Kodlaa A., Merza J., **DFT and Experimental Study of Synthesis a Quinoxaline Derivative Using Photocatalysis,** Chemistry and Materials Research, Vol.9, No.9 (2017)p.96-102.
- [14] Ghanoum K., Kodlaa A., Merza J., **Quantum-Chemical Study of Photo-chemical Properties of some Unsaturated Compounds**. Journal of Al-Baath university, Vol. 41, No.16 (2019)p.55-80. & Vol. 41, No.17 (2019)p.147-172.
- [15] Ghanoum K., Kodlaa A., Merza J., Quantum-Chemical and Experimental Study of Spectroscopic and Photochemical Properties of 2-methyl quinoxaline 1,4-dioxide, Journal of Al-Baath university, Vol. 41, No.17 (2019)p.127-146.
- A., Alali A.. Kodlaa [16] Edrees L., STUDY THE SPECTROSCOPIC AND PHOTOCHEMICAL PROPERTIES OF SEVERAL NAIL **POLISHES** USING THE **OUANTUM-CHEMICAL** AND EXPERIMENTAL METHODS, Alleyscience.ru, №5(44) (2020)p.21-29.
- [17] Idris L., Kodlaa A., Alali A., Quantum-Chemical Study of Photochemical Effect of some Nail polish components, Journal of Al-Baath university, Vol. 41, No.21 (2019)p.37-66.

دراسة كيفية تحديد الخصائص الضوئية للمركبات الكيميائية كوانتياً: بعض مكونات مواد التجميل كأمثلة

- [18] رنيم خانكان، عدنان كودلأ، دراسة تأثير الضوء في الخصائص البنيوية والإلكترونية لحمضي السيتريك والأسكوربيك المستخدمان في منتجات العناية بالشعر، مجلة جامعة البعث، المجلد 44، العدد 18، (2022) ص (117-147).
- [19] طلال غسان وردة، سليمان ديبو، عدنان كودلأ، دراسة كوانتية لتأثير الضوء على الخصائص البنيوية والترموديناميكة لبعض الأكاسيدالمعدنية، مجلة جامعة البعث سلسلة العلوم الأساسية، المجلد 44، العدد 3، (2022) ص (79-127).
 - [20] عالية الرفاعي، عدنان كودلأ، فاطمة الرحال ؛ دراسة تأثير الضوع على الفينول ويعض مشتقاته، مجلة جامعة البعث المجلد 44، العدد 15، (2022) ص (11-38).
- [21] Frisch M.J., et. al: **GAUSSIAN 03, Revision B.05**, Gaussian, Inc., Pittsburgh, PA, (2003).
- [22] Frisch M. J., et.al: **GAUSSIAN 09, Revision A.02** Gaussian, Inc., Wallingford CT, (2009).
- [23] Frisch M. J., et.al: **GAUSSIAN 09, Revision D.01** Gaussian, Inc., Wallingford CT, (2013).
- [24] Roy D. Dennington II, Todd A. Keith and John M. Millam, GaussView 5.0.8, Semichem, Inc. 2000-2008
- [25] Roy D. Dennington II, Todd A. Keith and John M. Millam, **GaussView 6.0.16**, Semichem, Inc. 2000-2016.
- [26] Ali, J. H., & Kazar, K. O. Theoretical Study on Bromofulvene isomers (3-Bromofulvene, 4-Bromofulvene and 6-Bromofulvene) and their positive and negative radical ions. Part A. journal of kerbala university, (2013),11(3).
- [27] Khankan R., A Quantum and Experimental Study of the Effect of Light on Some Components of Hair Dyes, Master -Thesis, 2023, Albaath-University-Syria.
- [28] Silva, E.R., Queiroz, A.N., Almeida, E.D. and Borges, R.S., **A DFT study of aminophenol stability. Journal of Computational and Theoretical Nanoscience**, 6(7), (2009), P.1694.